

杨樱、张世熔、李婷、等. 2009 铜、铅在车前草中的亚细胞分配 [J]. 环境科学学报, 29(9): 1964–1969

Yang Y, Zhang S R, Li T. 2009 Subcellular distributions of copper and lead in *Herba Plantaginis* [J]. Acta Scientiae Circumstantiae, 29(9): 1964–1969

# 铜、铅在车前草中的亚细胞分配

杨樱, 张世熔\*, 李婷, 姜洪敏, 陈红琳

四川农业大学资源环境学院, 雅安 625014

收稿日期: 2008-12-26 修回日期: 2009-04-15 录用日期: 2009-07-07

**摘要:** 通过盆栽试验研究了四川荣经县宝贝凼(BBD)和泸县(LX)车前草在铜(Cu)、铅(Pb)单元素污染处理下叶片中Cu和Pb的亚细胞分布特征。结果表明, BBD车前草生物量和富集Cu、Pb的能力均明显高于LX。不同处理下, BBD车前草各亚细胞组分中Cu和Pb含量变化特征为细胞器最高, 细胞壁次之, 胞液最低; LX车前草各亚细胞组分中Cu和Pb含量变化特征为细胞壁最高, 细胞器次之, 胞液最低。BBD和LX车前草亚细胞各组分Pb含量均高于Cu。细胞器是细胞最重要的光合作用和呼吸作用的场所, 结合Cu、Pb的能力较强, 细胞壁对进入植物体内的Cu和Pb有极强的束缚作用, 这可能是车前草能够解毒的重要原因。

**关键词:** 车前草; 亚细胞; 铜; 铅

文章编号: 0253-2468(2009)09-1964-06 中图分类号: X171.5 文献标识码: A

## Subcellular distributions of copper and lead in *Herba Plantaginis*

YANG Ying<sup>\*</sup>, ZHANG Sh iron g, LI Ting, JIANG Hongm in, CHEN Honglin

College of Resources and Environment of Sichuan Agricultural University, Ya'an 625014

Received 26 December 2008; received in revised form 15 April 2009; accepted 7 July 2009

**Abstract** We studied the subcellular distributions of Cu and Pb in leaves of *Herba Plantaginis* taken from sites at Baobeidang (BBD) and Luxian (LX) in Sichuan Province. The results indicate that the biomass and the content of Cu and Pb were higher in *H. Plantaginis* from BBD than that from LX. The levels of Cu and Pb in *H. Plantaginis* from BBD were highest in the cytoplasmic organelles, less in the cell wall and lowest in the cytoplasmic supernatant. The levels of Cu and Pb in *H. Plantaginis* from LX were highest in the cell wall, less in the cytoplasmic organelles and lowest in the cytoplasmic supernatant. The level of Pb was higher than that of Cu in all subcellular fractions. Cytoplasmic organelles include the important sites involved in photosynthesis and respiration and have the capacity to absorb Cu and Pb. The cell wall can form very strong bonds with Cu and Pb. These findings may explain why *H. Plantaginis* is capable of detoxification.

**Keywords** *Herba Plantaginis*; subcellular distribution; copper; lead

## 1 引言 (Introduction)

车前草 (*Herba Plantaginis*) 系车前草科车前草属多年生草本植物, 是中药和染料制作的重要原料。由于它抗逆性强、生长迅速, 在四川铜矿、铅锌矿区广泛分布, 是一种矿山污染土壤的潜在修复植物(陆引罡等, 2004)。本研究初步野外调查发现, 车前草对Cu和Pb有明显的富集作用, 但二者在车前草亚细胞水平分布的特征却并不清楚。因此, 本文在2007年初步试验的基础上, 改进试验方法, 以两

种不同地方的车前草为研究对象, 采用亚细胞分级方法分离出细胞壁、细胞器和胞液组分(Ramos et al., 2002; 肖细元等, 2006), 通过化学分析方法测定各亚细胞组分中Cu和Pb的含量, 以期从亚细胞水平揭示车前草中Cu和Pb的分布特征, 为解释车前草对Cu和Pb的解毒机理提供新的实验证据。

## 2 材料与方法 (Materials and methods)

### 2.1 试验材料

试验用的两种车前草种子分别采自生态环境

基金项目: “十一五”国家科技支撑计划(No. 2008BAK51B01); 四川公益性科技攻关专项(No. 2007NGY006)

Supported by the National Key Technology R&D Program of the “11th Five-year” Plan of China (No. 2008BAK51B01) and the Non-profit Program for Science and Technology Development of Sichuan Province (No. 2007NGY006)

作者简介: 杨樱(1984—), 女, E-mail: yinghuapiao@163.com; \* 通讯作者(责任编辑), E-mail: rsz01@163.com

**Biography** YANG Ying(1984—), female, E-mail: yinghuapiao@163.com; \* Corresponding author, E-mail: rsz01@163.com

© 1994-2012 China Academic Journal Electronic Publishing House. All rights reserved. http://www.cnki.net

有一定差异的荣经县宝贝凼矿区(BBD)和泸州市泸县(LX)。宝贝凼采样区位于中山下部, 海拔1520.0m, 年均温10.3℃, 月最高温18.8℃, 最低温0.1℃, 年降水2432.4mm, 年蒸发量512.9mm。泸县采样区地貌类型为中丘, 海拔620.3m, 年均温17.8℃, 月最高温27.4℃, 最低温7.4℃, 年降水1047.6mm, 年蒸发量728.9mm。

## 2.2 盆栽试验

挑选两种地方的车前草饱满种子, 分别用质量

分数0.1%的NaCD浸泡消毒30min再用蒸馏水冲洗干净, 平铺于垫有多层滤纸的培养皿中, 并置于光照培养箱中催芽。培养箱中植物生长条件为培养光周期16h/8h(光暗), 昼夜温度分别为25.20℃。待长出3~4片幼叶后, 选取长势基本一致的幼苗移栽至盆栽土壤中(塑料盆高20cm, 每盆装土1kg)。用于盆栽的土壤为黄壤, 风干后过2mm筛, 土壤基本理化性质如表1所示。

表1 供试土壤基本理化性质

Table 1 Some basic physical and chemical properties of the tested soil

pH	有机质/(g kg <sup>-1</sup> )	全氮/(g kg <sup>-1</sup> )	碱解氮/(mg kg <sup>-1</sup> )	速效磷/(mg kg <sup>-1</sup> )	速效钾/(mg kg <sup>-1</sup> )	CEC/(cmol kg <sup>-1</sup> )	总铜/(mg kg <sup>-1</sup> )	总铅/(mg kg <sup>-1</sup> )
5.02	24.75	1.68	174.46	13.48	44.32	9.86	29.63	35.94

预培养10d后, 对车前草进行Cu和Pb单金属胁迫处理, 实验共设置1个对照( $T_0$ )和6个处理水平( $T_1 \sim T_6$ ), 每个处理3次重复, 各处理水平如表2所示。Cu、Pb分别以 $CuSO_4 \cdot 5H_2O$ 和 $Pb(CH_3COO)_2 \cdot 3H_2O$ 形态添加。生长期, 每天浇无离子水以保持水分, 每周观察其生长状况。50d后收获植株, 参考试验方法进行重金属在车前草亚细胞中分布的研究(Rathore *et al.*, 1972; Ute *et al.*, 2000; Ni *et al.*, 2003; 陈同斌等, 2005; Wang *et al.*, 2007)。

表2 Cu和Pb单金属处理水平

处理水平	Cu	Pb	mg kg <sup>-1</sup>
$T_0$	0	0	
$T_1$	250	250	
$T_2$	500	500	
$T_3$	750	750	
$T_4$	1000	1000	
$T_5$	1250	1250	
$T_6$	1500	1500	

## 2.3 研究方法

2.3.1 植物的观察和采集 处理50d后收获植株, 小心剪下车前草叶片, 先用自来水冲洗附着在叶片表面的土壤, 然后用去离子水冲洗3次。

2.3.2 车前草亚细胞组分分级 从各处理的车前草植株中分别称取10000g叶片鲜样用于亚细胞分级实验。参照Hans(1980)等建立的亚细胞分级方法, 采用预冷的匀浆液将其在冰浴上研磨成匀浆状(万敏等, 2003; Sokolova *et al.*, 2005; Fahmi *et al.*, 2007)。匀浆液组成为0.25mol L<sup>-1</sup>蔗糖、0.05mol L<sup>-1</sup>(Tris-HCl)缓冲液( $pH=7.5$ )、1mmol L<sup>-1</sup>

二硫赤藓糖醇( $C_4H_{10}O_2S_2$ )、pH值为7.5。所有匀浆过程和分离过程温度均控制在4℃。具体步骤如下: 取匀浆液及组织15~20mL注入50mL离心管中, 高速冷冻离心机中以3000r min<sup>-1</sup>离心30s, 下部沉淀和底层碎片为细胞壁(cell wall)组分。上清液以15000r min<sup>-1</sup>离心30min, 底层碎片为细胞器组分(cytoplasmic organelle), 上层清液为胞液组分(cytoplasmic supernatant), 包括细胞质及液泡内大分子有机物及无机离子。

2.3.3 样品分析 分离后的细胞壁、细胞器和胞液组分经硝酸和高氯酸消化处理后, 采用美国热电公司的ICP-AES(RIS Inrepid II)光谱测定仪测定其中Cu和Pb的含量。

## 2.4 数据处理与分析

采用SPSS13.0统计分析软件对数据进行统计分析。

## 3 结果(Results)

### 3.1 车前草地上部生物量和铜铅含量

BBD和LX车前草地上部生物量均随铜、铅处理水平的增加而呈现递减的趋势(图1)。在Cu单独处理下, 两地车前草在处理水平大于250mg kg<sup>-1</sup>时, 均出现毒害作用。当处理水平为500mg kg<sup>-1</sup>时, 两地车前草生物量分别为1.49mg kg<sup>-1</sup>和1.24mg kg<sup>-1</sup>, 比其对照降低61.10%和31.11%; 当处理水平为1500mg kg<sup>-1</sup>时, 两地车前草生物量分别为0.43mg kg<sup>-1</sup>和0.74mg kg<sup>-1</sup>, 比其对照降低88.77%和58.89%, 达到最小值。在Pb单独处理下, 当处理水平为0mg kg<sup>-1</sup>时, 两地车前草生物量

分别为 $3.83\text{ mg kg}^{-1}$ 和 $1.80\text{ mg kg}^{-1}$ ;当处理水平为 $1500\text{ mg kg}^{-1}$ 时,两地车前草生物量均为 $1.18\text{ mg kg}^{-1}$ ,比其对照降低69.19%和34.44%,达到最

小值。总体而言,高含量的Cu Pb处理均对车前草的生长产生了明显的抑制作用,植株矮小且叶色暗黄。BBD车前草地上部生物量明显高于LX

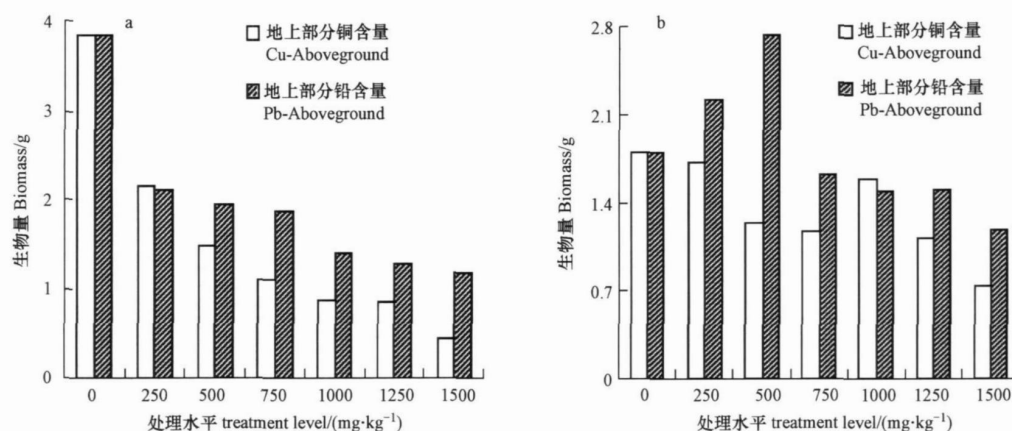


图1 Cu和Pb对BBD和LX地上部生物量的影响(a BBD, b LX)

Fig. 1 Effects of Cu and Pb on Biomass from BBD and LX(a BBD, b LX)

BBD和LX车前草地上部分Cu含量均随处理水平的增加呈现递增的趋势(表3)。从表3可以看出,当处理水平为 $1500\text{ mg kg}^{-1}$ 时,两地车前草地上部Cu含量分别为 $1661.75\text{ mg kg}^{-1}$ 和 $1129.46\text{ mg kg}^{-1}$ ,富集量达到最大,分别比对照增加55.06倍和61.08倍。方差分析表明,BBD车前草各处理的Cu含量间存在极显著差异( $F_{(6,14)} = 9.940^{**}, p = 0$ )。采用最小显著差数法对它们平均值比较结果发现, $T_6$ 除与 $T_5$ 间差异达显著外( $p < 0.05$ ),与对照及其他处理之间的差异达极显著( $p < 0.01$ )。LX车前草各处理的Cu含量间存在显著差异( $F_{(6,14)} = 4.184^*, p = 0.013$ )。它们的平均值采用最小显著差数法比较的结果为: $T_6$ 与 $T_1$ 和 $T_0$ 、 $T_5$ 与 $T_0$ 间差异极显著( $p < 0.01$ ), $T_6$ 与 $T_3$ 和 $T_2$ 、 $T_5$ 与 $T_2$ 和 $T_4$ 、 $T_4$ 与 $T_0$ 之间的差异显著( $p < 0.05$ ),其余浓度间差异

不显著( $p > 0.05$ )。

BBD和LX车前草Pb含量均随处理水平的增加呈现递增的趋势(表3)。当处理浓度为 $1500\text{ mg kg}^{-1}$ 时,两地车前草Pb含量分别为 $1511.55\text{ mg kg}^{-1}$ 和 $1341.79\text{ mg kg}^{-1}$ ,富集量达到最大,分别比对照增加32.44倍和48.39倍。方差分析表明,BBD车前草各处理的Pb含量间存在极显著差异( $F_{(6,14)} = 27.207^{**}, p = 0$ )。采用最小显著差数法对它们的平均值进行多重比较的结果发现, $T_6$ 与 $T_0$ 、 $T_1$ 、 $T_2$ 、 $T_3$ 、 $T_4$ 、 $T_5$ 与 $T_0$ 、 $T_1$ 、 $T_2$ 、 $T_3$ 之间的差异极显著( $p < 0.01$ )。LX车前草各处理的Pb含量间存在极显著差异( $F_{(6,14)} = 9.649^{**}, p = 0$ )。它们的平均值采用最小显著差数法比较的结果为: $T_6$ 与 $T_0$ 、 $T_1$ 、 $T_2$ 之间的差异达极显著( $p < 0.01$ ), $T_6$ 与 $T_3$ 差异显著( $p < 0.05$ )。

表3 BBD和LX车前草中Cu和Pb含量的统计特征

Table 3 Statistical characteristics of Cu and Pb contents from BBD and LX

$\text{mg kg}^{-1}$

处理水平	设定值	BBD 地上部分含量		LX 地上部分含量	
		Cu	Pb	Cu	Pb
$T_0$	0	30.18(Cd)	46.60(Dd)	17.14(Cd)	27.73(Dd)
$T_1$	250	124.38(Ccd)	241.39(ddd)	274.85(BCcd)	304.20(CdDd)
$T_2$	500	269.11(BCcd)	286.06(dDd)	340.31(ABCcd)	367.76(BCdDd)
$T_3$	750	507.55(BlCcd)	489.40(CdD)	506.20(ABbCcd)	701.68(ABlCcd)
$T_4$	1000	652.20(BbCc)	925.48(BbC)	595.32(AaBbC)	962.92(AaBb)
$T_5$	1250	928.25(ABb)	1201.24(AaBb)	940.93(AaBb)	1100.89(Aab)
$T_6$	1500	1661.75(Aa)	1511.55(Aa)	1129.46(Aa)	1341.79(Aa)

注:多重比较采用最小显著差数法,小写字母代表0.05显著水平,大写字母代表0.01显著水平,处理之间有相同字母者差异不显著。

总体而言, 两地车前草对 Cu Pb均有明显的富集能力, 且 BBD 车前草对 Cu Pb的富集能力大于 LX, 因此, 车前草是一种治理 Cu Pb污染的潜在修复植物.

### 3.2 Cu 的亚细胞分布

BBD 和 LX 车前草叶片中 Cu 的亚细胞分布主要从各亚细胞组分 Cu 含量的变化趋势、各组分间 Cu 含量的相关关系和两地车前草各组分间 Cu 含量的差异比较进行分析.

**3.2.1 各亚细胞组分 Cu 含量的变化趋势** Cu 在 T<sub>0</sub>(对照)车前草叶片各组分的含量均很低(表 4);

在 T<sub>1</sub> 处理下, 两地车前草各组分的 Cu 含量都有显著增加; 在 T<sub>3</sub> 处理下, 两地车前草各组分的 Cu 含量亦有显著增加; 在 T<sub>6</sub> 处理下, 两地车前草各组分 Cu 浓度达到了最大值. BBD 车前草叶片中各组分 Cu 含量大小为细胞器 > 细胞壁 > 胞液, 其中, 细胞器、细胞壁和胞液组分 Cu 含量的最大值分别为 238.65、151.83 和 66.80 mg kg<sup>-1</sup>. LX 车前草叶片中各组分 Cu 含量大小为细胞壁 > 细胞器 > 胞液, 其中, 细胞壁、细胞器和胞液组分 Cu 含量的最大值分别为 133.93、111.42 和 64.71 mg kg<sup>-1</sup>.

表 4 Cu 在车前草叶片亚细胞中的分布

Table 4 Cu content in subcellular fractions in leaves of *H. Plantaginis*

mg kg<sup>-1</sup>

地点	亚细胞组分	处理水平下 Cu 含量						
		T <sub>0</sub>	T <sub>1</sub>	T <sub>2</sub>	T <sub>3</sub>	T <sub>4</sub>	T <sub>5</sub>	T <sub>6</sub>
BBD	CW	8.53 (28.86%)	44.35 (36.63%)	42.91 (25.03%)	66.91 (36.94%)	54.50 (29.76%)	49.35 (23.90%)	151.83 (35.05%)
	CO	14.97 (50.63%)	55.47 (45.81%)	96.52 (56.30%)	95.93 (52.96%)	61.83 (33.76%)	118.27 (57.28%)	238.65 (55.09%)
	CS	6.06 (20.51%)	21.26 (17.56%)	32.01 (18.67%)	18.28 (10.09%)	66.80 (36.48%)	38.86 (18.82%)	42.71 (9.86%)
LX	CW	5.43 (31.88%)	67.37 (43.05%)	75.47 (41.32%)	87.37 (41.75%)	103.24 (45.08%)	124.05 (43.46%)	133.93 (45.49%)
	CO	7.36 (43.23%)	71.98 (46.00%)	67.94 (37.20%)	75.47 (36.06%)	76.36 (33.34%)	96.68 (33.87%)	111.42 (37.84%)
	CS	4.24 (24.89%)	17.14 (10.95%)	39.23 (21.48%)	46.45 (22.20%)	49.44 (21.59%)	64.71 (22.67%)	49.09 (16.67%)

注: CW 为细胞壁, CO 为细胞器, CS 为胞液; 括号中的数值为各组分中 Cu 的质量分数.

**3.2.2 亚细胞组分间 Cu 含量的相关关系** BBD 车前草叶片中, 细胞壁与细胞器中 Cu 含量的关系呈显著正相关 ( $r = 0.945^{**}$ ,  $p < 0.01$ ), 其余各亚

细胞组分间 Cu 含量的关系均不显著 ( $p > 0.05$ ) (表 5). LX 车前草叶片的细胞壁与细胞器、细胞壁与胞液中 Cu 含量的关系显著正相关, 其相关系数  $r$  分别为 0.974<sup>\*\*</sup> 和 0.906<sup>\*\*</sup> ( $p < 0.01$ ), 细胞器与胞液中 Cu 含量显著正相关 ( $r = 0.820^*$ ,  $p < 0.05$ ).

### 3.2.3 两地车前草各组分间 Cu 含量的差异比较

在 T<sub>1</sub> 处理下, 细胞壁和细胞器的 Cu 含量以 LX 车前草较高, 胞液的 Cu 含量以 BBD 较高; 在 T<sub>6</sub> 处理下, 细胞壁和细胞器的 Cu 含量以 BBD 车前草较高. Cu 处理水平与 BBD 和 LX 车前草亚细胞各组分中 Cu 含量的回归分析结果如表 6 所示.

表 6 Cu 处理下 BBD 和 LX 车前草 Cu 含量的分布

Table 6 Cu content in subcellular fractions in leaves of *H. Plantaginis* from BBD and LX

亚细胞组分	BBB		$R^2$	LX		$R^2$
	方程			方程		
CW	$Y = 5.0 \times 10^{-5} X^2 - 0.0046Y + 25.799$		0.5991*	$Y = -4.0 \times 10^{-5} X^2 + 0.1292X + 17.601$		0.9430 <sup>**</sup>
CO	$Y = 8.0 \times 10^{-5} X^2 - 0.0081X + 40.102$		0.7524*	$Y = -3.0 \times 10^{-5} X^2 + 0.0931X + 24.434$		0.8025 <sup>**</sup>
CS	$Y = 11.34e^{0.001X}$		0.5991*	$Y = -4.0 \times 10^{-5} X^2 + 0.0872X + 1.8878$		0.9430 <sup>**</sup>

注: Y 表示车前草各亚细胞组分累积 Cu 量 (mg kg<sup>-1</sup>), X 表示 Cu 处理水平 (mg kg<sup>-1</sup>); F 检验: \*  $p < 0.05$ ; \*\*  $p < 0.01$ ; CW 为细胞壁, CO 为细胞器, CS 为胞液.

### 3.3 Pb的亚细胞分布

BBD 和 LX 车前草叶片中 Pb 的亚细胞的分布主要从各亚细胞组分 Pb 含量的变化趋势、各组分间 Pb 含量的相关关系和两地车前草各组分间 Pb 含量的差异比较进行分析。

**3.3.1 各亚细胞组分 Pb 的变化趋势** Pb 在 T<sub>0</sub> (对照) 车前草叶片各组分的含量均很低 (表 7); 在 T<sub>1</sub> 处理下, 两地车前草各组分的 Pb 含量都有显著增加; 在 T<sub>3</sub> 处理下, 两地车前草各组分的 Pb 含量亦有

显著增加; 在 T<sub>6</sub> 处理下, 两地车前草各组分 Pb 含量达到了最大值。BBD 车前草叶片中各组分 Pb 含量大小为细胞器 > 细胞壁 > 胞液, 其中, 细胞器、细胞壁和胞液组分 Pb 含量的最大值分别为 369.72, 225.59 和 42.19 mg·kg<sup>-1</sup>。LX 车前草叶片中各组分 Pb 含量大小为细胞壁 > 细胞器 > 胞液, 其中, 细胞壁、细胞器和胞液组分 Pb 含量的最大值分别为 297.89, 237.41 和 127.98 mg·kg<sup>-1</sup>。两地车前草各亚细胞组分中 Pb 含量均高于 Cu

表 7 Pb 在车前草叶片中的亚细胞分布

Table 7 Pb content in subcellular fractions in leaves of *H. Plantaginis*

mg·kg<sup>-1</sup>

地点	亚细胞组分	各处理水平 Pb 含量					
		T <sub>0</sub>	T <sub>1</sub>	T <sub>2</sub>	T <sub>3</sub>	T <sub>4</sub>	T <sub>6</sub>
BBD	CW	15.52 (33.71%)	69.22 (52.17%)	109.88 (50.48%)	61.90 (22.24%)	131.47 (34.51%)	206.28 (38.39%)
	CO	20.94 (45.47%)	53.37 (40.23%)	82.72 (38.00%)	193.38 (69.49%)	229.89 (60.34%)	369.72 (56.72%)
	CS	9.59 (20.82%)	10.08 (7.60%)	25.08 (11.52%)	23.00 (8.27%)	19.64 (5.16%)	42.19 (4.89%)
LX	CW	9.15 (33.58%)	59.84 (35.79%)	110.04 (43.15%)	156.44 (50.12%)	199.92 (41.91%)	297.89 (44.91%)
	CO	11.63 (42.68%)	64.62 (38.65%)	75.55 (29.62%)	125.26 (40.14%)	206.15 (43.22%)	237.41 (39.33%)
	CS	6.47 (23.73%)	42.73 (25.56%)	69.44 (27.23%)	30.40 (9.74%)	70.91 (14.87%)	127.98 (13.49%)

注: CW 为细胞壁, CO 为细胞器, CS 为胞液; 括号中的数值为各组分中 Pb 的质量分数。

**3.3.2 亚细胞组分间 Pb 含量的相关关系** BBD 车前草叶片中, 细胞壁与细胞器中 Pb 含量显著正相关 ( $r = 0.893^{**}$ ,  $p < 0.01$ ); 细胞壁与胞液、细胞器与胞液中 Pb 含量显著正相关, 其相关系数  $r$  分别为 0.837<sup>\*</sup> 和 0.846<sup>\*</sup> ( $p < 0.05$ ) (表 8)。LX 车前草

叶片中, 细胞壁与细胞器中 Pb 含量呈显著正相关 ( $r = 0.975^{**}$ ,  $p < 0.01$ ); 细胞壁与胞液、细胞器与胞液中 Pb 含量呈显著正相关, 其相关系数  $r$  分别为 0.846<sup>\*</sup> 和 0.802<sup>\*</sup> ( $p < 0.05$ )。

**3.3.3 两地间车前草各组分 Pb 含量的差异比较** Pb 对照处理的细胞壁、细胞器和胞液中 Pb 含量均以 BBD 车前草较高; 在 T<sub>1</sub> 处理中, 细胞壁的 Pb 含量以 BBD 车前草较高, 细胞器和胞液的 Pb 含量以 LX 车前草较高; 在 T<sub>6</sub> 处理中, 细胞壁和胞液中 Pb 含量以 LX 车前草较高, 细胞器中 Pb 含量以 BBD 车前草较高。Pb 处理浓度与 BBD 和 LX 车前草亚细胞各组分中 Pb 含量的回归分析结果如表 9 所示。

表 8 亚细胞组分间 Pb 含量的相关分析

Table 8 The correlation analysis of Pb content in subcellular fractions in leaves of *H. Plantaginis*

亚细胞组分	BBD		LX	
	CW	CO	CW	CO
CO	0.893 <sup>**</sup>	-	0.975 <sup>**</sup>	-
CS	0.837 <sup>*</sup>	0.846 <sup>*</sup>	0.846 <sup>*</sup>	0.802 <sup>*</sup>

注: \*  $p < 0.05$ ; \*\*  $p < 0.01$ ; CW 为细胞壁, CO 为细胞器, CS 为胞液。

表 9 Pb 处理下 BBD 和 LX 车前草 Pb 含量的分布

Table 9 Pb content in subcellular fractions in leaves of *H. Plantaginis* from BBD and LX

亚细胞组分	BBD		LX	
	方程	R <sup>2</sup>	方程	R <sup>2</sup>
CW	$Y = 0.1323X + 17.917$	0.8591 <sup>**</sup>	$Y = -4.0 \times 10^{-6}X^2 + 0.1913X + 11.7$	0.9952 <sup>**</sup>
CO	$Y = 5.0 \times 10^{-5}X^2 + 0.1732X + 11.903$	0.9851 <sup>**</sup>	$Y = -2.0 \times 10^{-5}X^2 + 0.1808X + 10.457$	0.9417 <sup>*</sup>
CS	$Y = 10.307e^{0.0009X}$	0.7802 <sup>**</sup>	$Y = 2.0 \times 10^{-5}X^2 + 0.0219X + 22.638$	0.7058 <sup>*</sup>

注: Y 表示车前草各亚细胞组分累积 Pb 量 (mg·kg<sup>-1</sup>), X 表示 Pb 处理水平 (mg·kg<sup>-1</sup>); F 检验: \*  $p < 0.05$ ; \*\*  $p < 0.01$ ; CW 为细胞壁, CO 为细胞器, CS 为胞液。

## 4 讨论 (Discussion)

BBD 车前草生物量和富集 Cu Pb 的能力均明显高于 LX. BBD 车前草种子取自雅安市大相岭山区的宝贝山矿区, LX 车前草种子取自泸州市泸县农田, 采样地生态环境的差异可能是影响车前草对重金属富集能力的原因之一。两地车前草在高处理水平时 Cu Pb 含量均超过  $1000 \text{ mg kg}^{-1}$ , 由此推断, 车前草是一种治理 Cu Pb 污染的潜在修复植物。

盆栽试验表明, 细胞器和细胞壁是车前草对 Cu 和 Pb 进行富集和解毒的关键部位, 且两地车前草细胞壁与细胞器中 Cu 和 Pb 含量均显著正相关。细胞器是重要的光合作用和呼吸作用场所, 它由细胞核、核糖体、高尔基体、内质网、溶酶体、叶绿体、线粒体等组合而成, 结合 Cu Pb 的能力较强。但细胞器中 Cu 和 Pb 含量过高, 可能对生理功能产生一定的不良影响 (Ni et al., 2005; Liao et al., 2007)。细胞壁对进入植物体内的 Cu 和 Pb 有极强的束缚作用, 限制其进入细胞质内部。何冰 (2003) 等研究表明, 在以细胞壁为主体的非原生质体中, 多糖分子和蛋白质分子含有大量羟基、羧基、醛基和磷酸基等亲金属离子的配位基团, 可与金属离子配位而贮藏部分金属, 减少这些离子的跨膜运输, 降低细胞代谢中心——原生质体的金属含量, 以维持细胞的正常生理代谢 (Chou et al., 2007)。亚细胞水平的 Cu Pb 分布研究结果表明, 细胞器和细胞壁组分是车前草聚集 Cu Pb 的主要组分, 它们可能是车前草对铜铅进行富集和解毒的关键部位。

## 5 结论 (Conclusions)

1) BBD 车前草生物量和富集 Cu Pb 的能力均明显高于 LX. 2) 不同处理水平下, BBD 车前草各亚细胞组分中 Cu 和 Pb 含量变化特征为细胞器最高, 细胞壁次之, 胞液最低; LX 车前草各亚细胞组分中 Cu 和 Pb 含量变化特征为细胞壁最高, 细胞器次之, 胞液最低。3) BBD 和 LX 车前草亚细胞各组分中 Pb 含量高于 Cu。

**责任编辑简介:** 张世熔 (1963—), 男, 教授 (博士)。主要研究方向为土壤污染修复。

### 参考文献 (References):

陈同斌, 阎秀兰, 廖晓勇, 等. 2005 蜈蚣草中砷的亚细胞分布与区隔化作用 [J]. 科学通报, 50(24): 2739—2744  
Chen T B, Yan X L, Liao X Y, et al. 2005 Subcellular distribution and compartmentalization of arsenic in *Pteris vittata* L. [J]. Chinese

Science Bulletin, 50(24): 2739—2744 (in Chinese)

- Chou K C, Shen H B. 2007 Recent progress in protein subcellular location prediction [J]. Analytical Biochemistry, 370: 1—16  
Fahmi C J. 2007. Biological applications of X-ray fluorescence microscopy: Exploring the subcellular topography and speciation of transition metals [J]. Bioinorganic Chemistry, 11: 121—127  
Hans JW, Hans JJ. 1980 Subcellular distribution and chemical form of cadmium in bean plants [J]. Plant Physiol, 65: 480—482  
He B, Yang X E, Ni W Z, et al. 2003 Pb uptake accumulation subcellular distribution in a Pb-accumulating ecotype of *Sedum alfredii* (Hance) [J]. Journal of Zhejiang University Science, 4(4): 474—479  
Li T Q, Yang X E, Yang J Y, et al. 2006 Zn accumulation and subcellular distribution in the Zn hyperaccumulator *Sedum alfredii* Hance [J]. Pedosphere, 16(5): 616—623  
廖晓勇, 谢华, 陈同斌, 等. 2007 蜈蚣草的超微结构和砷、钙的亚细胞分布 [J]. 植物营养与肥料学报, 13(2): 305—312  
Liao X Y, Xie H, Chen T B, et al. 2007 Ultrastructure and subcellular distributions of arsenic and calcium in *Pteris vittata* L. [J]. Plant Nutrition and Fertilizer Science, 13(2): 305—312 (in Chinese)  
陆立罡, 黄建国, 滕应, 等. 2004 重金属富集植物车前草对镍的响应 [J]. 水土保持学报, 18(1): 108—114  
Lu Y G, Huang J G, Teng Y, et al. 2004 Growth and uptake response to Ni by hyperaccumulator plant [J]. Journal of Soil and Water Conservation, 18(1): 108—114 (in Chinese)  
Ni C Y, Chen Y X, Lin Q, et al. 2005 Subcellular localization of copper in tolerant and non-tolerant plant [J]. Journal of Environmental Science, 17(3): 452—456  
Ni T H, Wei Y Z. 2003 Subcellular distribution of cadmium in mining ecotype *Sedum alfredii* [J]. Acta Botanica Sinica, 45(8): 925—928  
Ramos I, Esteban E, Lucena J I, et al. 2002 Cadmium uptake and subcellular distribution in plants of *Lactuca* sp Cd-Mn interaction [J]. Plant Science, 162: 761—767  
Rathore V S, Bajaj Y P, Wetter SH. 1972 Subcellular localization of zinc and calcium in bean (*Phaseolus vulgaris* L.) tissues [J]. Plant Physiology, 49: 207—211  
Sokolova I M, Ringwood A H, Johnson C. 2005 Tissue-specific accumulation of cadmium in subcellular compartments of eastern oysters *Crassostrea virginica* Gmelin (Bivalvia Ostreidae) [J]. Aquatic Toxicology, 74: 218—228  
Ute K, Ingrid J P, Roger C P, et al. 2000 Subcellular localization and speciation of nickel in hyperaccumulator and non-accumulator *Thlaspi* species [J]. Plant Physiology, 122: 1343—1353  
万敏, 周卫, 林葆. 2003 镉积累不同类型的小麦细胞镉的亚细胞和分子分布 [J]. 中国农业科学, 36(6): 671—675  
Wan M, Zhou W, Lin B. 2003 Subcellular and molecular distribution of cadmium in two wheat genotypes differing in shoot/root Cd partitioning [J]. Scientia Agricultura Sinica, 36(6): 671—675 (in Chinese)  
Wang X, Liu Y G, Zeng GM, et al. 2007 Subcellular distribution and chemical forms of cadmium in *Bedstraw nivea* (L.) Gaud [J]. Environmental and Experimental Botany, 10: 1016—1032  
肖细元, 廖晓勇, 陈同斌, 等. 2006 砷超富集植物蜈蚣草中磷和钙的亚细胞分布及其与耐砷毒的关系 [J]. 环境科学学报, 26(6): 954—961  
Xiao X Y, Liao X Y, Chen T B, et al. 2006 Subcellular distribution of phosphorus and calcium in arsenic hyperaccumulator *Pteris vittata* L. and its tolerance to phytotoxicity of arsenic [J]. Acta Scientiarum Circumstantiae, 26(6): 954—961 (in Chinese)